www.ps.bam.de/VG25/L25G00N1.PS/.TXT; Start-Ausgabe
N: Keine Ausgabe-Linearisierung (OL) in Datei (F), Startup (S), Gerät (D)

Siehe ähnliche Dateien: http://www.ps.bam.de/VG25/
Technische Information: http://www.ps.bam.de Version 2.1, io=1.1

BAM-Regisrierung: 20060101-VG25/L25G00N1.PS/.TXT
Anwendung für Beurteilung und Messung von Drucker– oder Monitorsystemen

BAM-Material: Code–rhäata
VG25; Form=100, Size=1.1, Sensor=Lang 1

Eingabe: Farbmetrisches Drucker-Reflektiv-System FRS06 für Buntton $h^* = lab^*h = 37/360 = 0.102$ lab^*tch und lab^*nch

D65: Buntton O
LCH*Ma: 33 78 37
olv*Ma: 1.0 0.0 0.0

Dreiecks-Helligkeit t^*

%Umfang

$u^*_{rel} = 115$

FRS06; adaptierte CIELAB-Daten

$L^*=L^*_a$	a^*_a	b^*_a	$C^*_{ab,a}$	$h^*_{ab,a}$
O_{Ma} 32.57	62.32	46.49	77.75	37
Y_{Ma} 82.73	−3.16	113.99	114.03	92
L_{Ma} 39.43	−61.79	45.84	76.95	143
C_{Ma} 47.86	−26.79	−34.24	43.49	232
V_{Ma} 10.16	55.12	−61.03	82.24	312
M_{Ma} 34.5	80.68	−33.92	87.52	337
N_{Ma} 6.25	0.0	0.0	0.0	0
W_{Ma} 91.97	0.0	0.0	0.0	0
R_{CIE} 39.92	59.8	31.05	67.38	27
J_{CIE} 81.26	−2.52	76.25	76.29	92
G_{CIE} 52.23	−41.56	17.14	44.96	158
B_{CIE} 30.57	2.63	−43.77	43.86	273

%Regularität

$g^*_{H,rel} = 28$

$g^*_{C,rel} = 38$

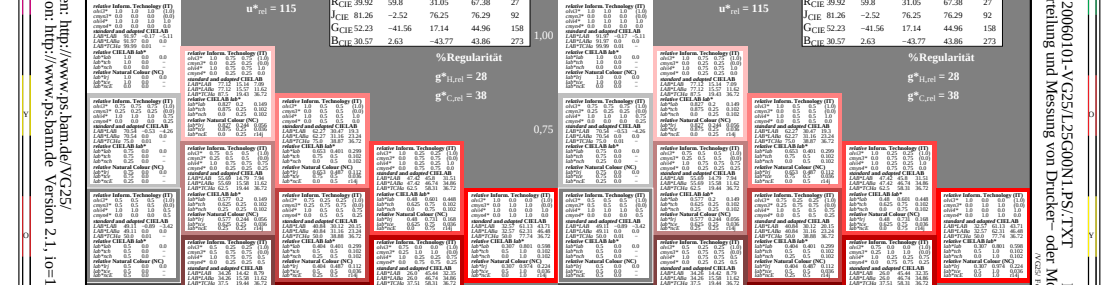

YG250–7, 5 stufige Reihen für konstanten CIELAB Buntton 37/360 = 0.102 (links)

5 stufige Reihen für konstanten CIELAB Buntton 37/360 = 0.102 (rechts)

BAM-Prüfvorlage VG25; Farbmetrik-Systeme FRS06 & FRS06 input: *olv* setrgbcolor*
D65: 2 Koordinatendaten; 5stufige Farbreihen für 10 Bunttöne output: *no change compared to input*

Ausgabe: Farbmetrisches Drucker-Reflektiv-System FRS06 für Buntton $h^* = lab^*h = 37/360 = 0.102$ lab^*tch und lab^*nch

D65: Buntton O
LCH*Ma: 33 78 37
olv*Ma: 1.0 0.0 0.0

Dreiecks-Helligkeit t^*

%Umfang

$u^*_{rel} = 115$

FRS06; adaptierte CIELAB-Daten

$L^*=L^*_a$	a^*_a	b^*_a	$C^*_{ab,a}$	$h^*_{ab,a}$
O_{Ma} 32.57	62.32	46.49	77.75	37
Y_{Ma} 82.73	−3.16	113.99	114.03	92
L_{Ma} 39.43	−61.79	45.84	76.95	143
C_{Ma} 47.86	−26.79	−34.24	43.49	232
V_{Ma} 10.16	55.12	−61.03	82.24	312
M_{Ma} 34.5	80.68	−33.92	87.52	337
N_{Ma} 6.25	0.0	0.0	0.0	0
W_{Ma} 91.97	0.0	0.0	0.0	0
R_{CIE} 39.92	59.8	31.05	67.38	27
J_{CIE} 81.26	−2.52	76.25	76.29	92
G_{CIE} 52.23	−41.56	17.14	44.96	158
B_{CIE} 30.57	2.63	−43.77	43.86	273

%Regularität

$g^*_{H,rel} = 28$

$g^*_{C,rel} = 38$